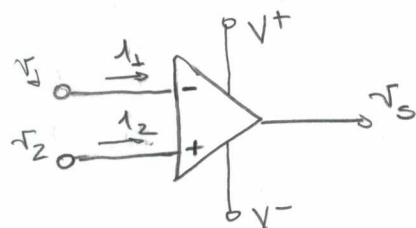


VI - AMPLIFICADORES OPERACIONAIS

1. Introdução

Amplificador diferencial de alto ganho:

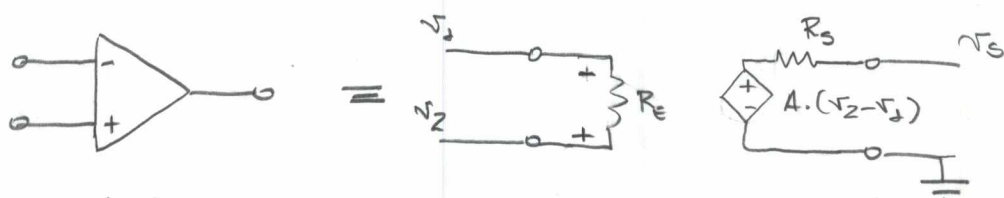


$$V_s = A \cdot (v_1^+ - v_1^-)$$

A: Ganho de malha aberta.

Como qualquer dispositivo, existem imperfeições, não-linearidades e/ou limitações.

2. O Amplificador operacional ideal



Caso ideal:

$$\left. \begin{array}{l} R_i \rightarrow \infty \\ R_s \rightarrow 0 \end{array} \right\} \begin{array}{l} V_s = A \cdot (v_2 - v_1) \\ A \rightarrow \infty \end{array}$$

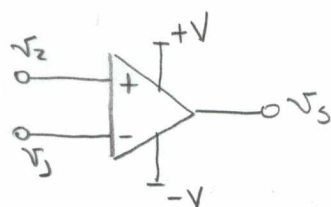
$$\begin{aligned} \text{se } v_2 &= \tilde{v}_2 + v_c \\ v_1 &= \tilde{v}_1 + v_c \end{aligned} \Rightarrow V_s = A \cdot (\tilde{v}_2 + v_c - \tilde{v}_1 - v_c) = A \cdot (\tilde{v}_2 - \tilde{v}_1)$$

tensões de modo comum.

Propriedade de rejeição ao modo comum.

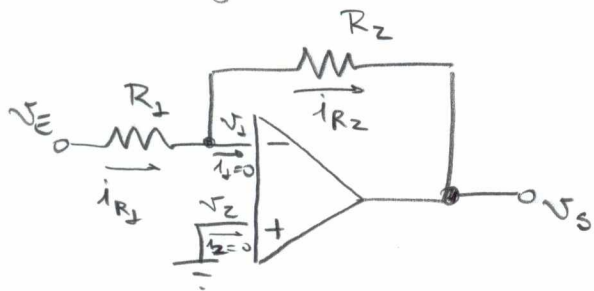
2.1. Configurações básicas

a) Comparador de tensões (AO especializado)



$$\begin{aligned} V_s &= +\infty \text{ (ideal) ou } V_L^+ \text{ (real) se } v_2 > v_1 \\ &= 0 \text{ se } v_2 = v_1 \\ &= -\infty \text{ (ideal) ou } V_L^- \text{ (real) se } v_2 < v_1 \end{aligned}$$

b) Configuração inversora



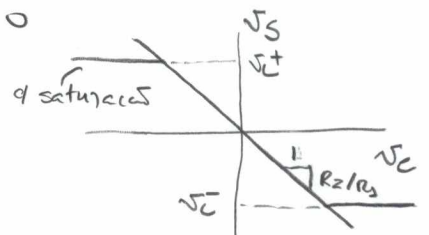
com $V_1 = V_2 = 0$ *

(*) Condição aceita por enquanto quando houver malimentação no terminal V_1 através de resistências e com o amplificador não-saturado e $A \rightarrow \infty$

$$i_{R_1} = i_1 + i_{R_2} \Rightarrow i_{R_1} = i_{R_2} \quad u=0$$

$$i_{R_1} = \frac{V_E - V_1}{R_1} = \frac{V_1 - V_S}{R_2} \quad \therefore \text{com } V_1 = 0$$

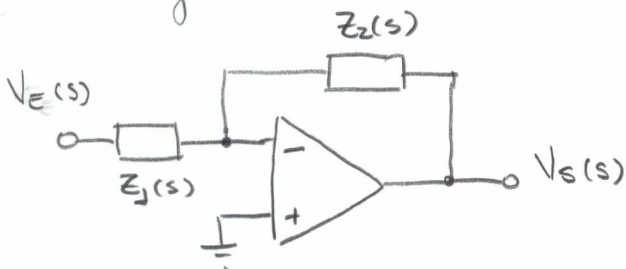
$$\frac{V_E}{R_1} = - \frac{V_S}{R_2} \Rightarrow \boxed{V_S = - \frac{R_2}{R_1} \cdot V_E}$$



Resistência de entrada:

$$R_e = \frac{V_E}{i_{R_1}} = R_1$$

Caso geral:



$$\frac{V_S(s)}{V_E(s)} = - \frac{Z_2(s)}{Z_1(s)} \cdot V_1$$

Com $Z_2(s) = 1/s$ e $Z_1(s) = R$:

$$\frac{V_S(s)}{V_E(s)} = - \frac{1}{RC} \cdot \frac{1}{s} \xrightarrow{\text{tempo}} V_S(t) = - \frac{1}{RC} \cdot \int_0^t V_E(t) dt + V_S(0)$$

Com $Z_2(s) = R$ e $Z_1(s) = 1/s$

$$\frac{V_S(s)}{V_E(s)} = -RC \cdot s \xrightarrow{\text{tempo}} V_S(t) = -RC \cdot \frac{dV_E(t)}{dt}$$

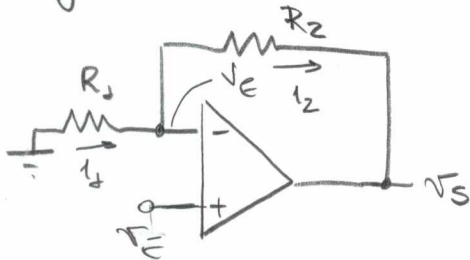
com $Z_2(s) = \frac{1}{sC} + R_2$ e $Z_1(s) = R_1$

$$\frac{V_S(s)}{V_E(s)} = - \frac{(1/sC + R_2)}{R_1} = - \left(\frac{1}{sCR_1} + \frac{R_2}{R_1} \right) = - \frac{R_2}{R_1} - \frac{1}{R_1 C} \cdot \frac{1}{s}$$

Regulador PI.

ganho integral
ganho proporcional

c) Configuração não-inversora



$$i_1 = i_2$$

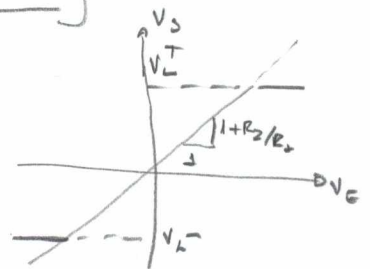
$$\frac{0 - V_E}{R_1} = \frac{V_E - V_S}{R_2}$$

$$V_E \cdot \left(\frac{1}{R_1} + \frac{1}{R_2} \right) = \frac{V_S}{R_2} = V_E \cdot \frac{R_1 + R_2}{R_1 R_2}$$

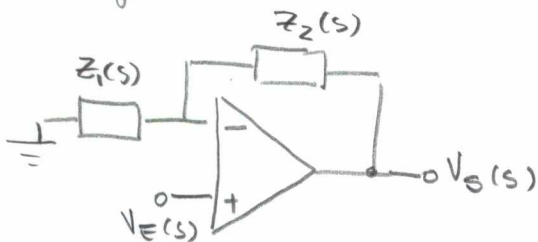
$$\boxed{\frac{V_S}{V_E} = \frac{R_1 + R_2}{R_1} = 1 + \frac{R_2}{R_1}}$$

Resistência de entrada:

$R_e = \infty$ (ou a resistência de entrada do amplificador)

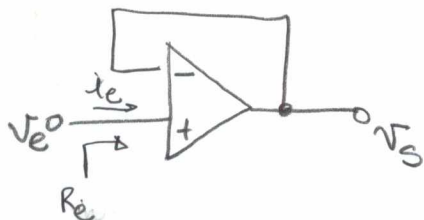


Caso geral:



$$\frac{V_S(s)}{V_E(s)} = 1 + \frac{Z_2(s)}{Z_1(s)}$$

Com $R_2 = 0\Omega$ e $R_1 = \infty\Omega$, temos um seguidor de tensão (ou buffer):



$$V_S = V_E$$

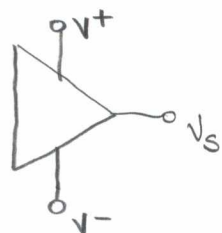
$$R_e = \infty \triangleq V_E / i_e$$

$$R_e =$$

3. Características de amplificadores operacionais reais

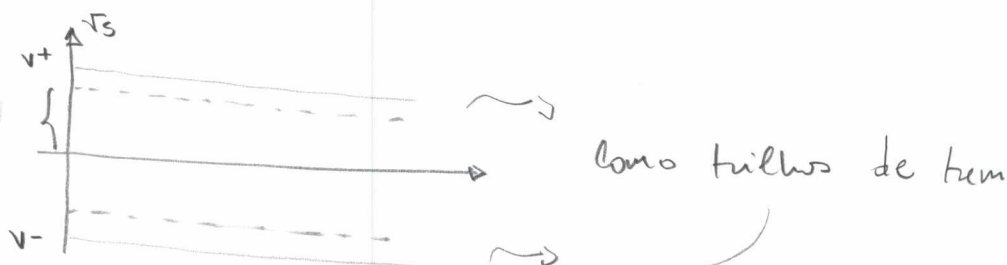
3.1. MOSTRAR TRANSPARÊNCIA DO LM741.

3.1. Limite da tensão de saída



$$V_L^- \leq V_S \leq V_L^+$$

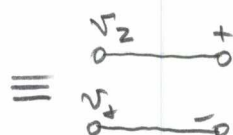
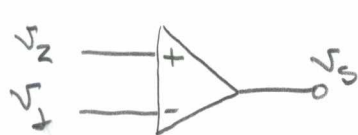
e $\underline{V_L^-} > V^-$ e $V_L^+ < V^+$



Amplificadores "RAIL-TO-RAIL": $V_L^+ - V^+$ e $V_L^- - V^-$ são muito pequenos. Em qual, a tensão de entrada deve estar no intervalo $V^+ \leq V_1 \leq V^+$ e $V^- \leq V_2 \leq V^-$.

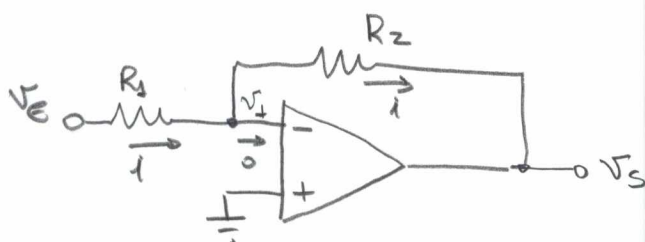
3.2. Modelo de ganho

a) Modelo de ganho de ordem zero.



Nas análises $V_2 = V_1$ em realimentação negativa.

Exemplo: Amplificador inversor



$$\frac{V_e - V_1}{R_1} = \frac{V_1 - V_S}{R_2}$$

sendo $V_S = A \cdot (V_2 - V_1) = -A \cdot V_1$

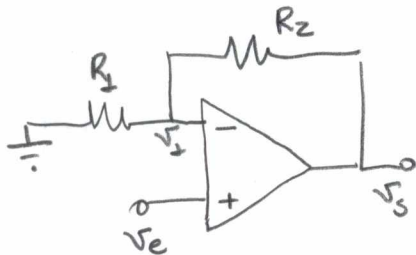
$$V_e + V_S/A = \frac{R_1}{R_2} \cdot \left(-\frac{V_S}{A} - V_S \right)$$

$$V_S \cdot \left(\frac{1}{A} \cdot \left(1 + \frac{R_1}{R_2} \right) + \frac{R_1}{R_2} \right) = -V_e$$

$$V_S \cdot \left(\frac{1}{A} + \frac{R_1}{R_2} \cdot \left(1 + 1/A \right) \right) = -V_e \Rightarrow \boxed{\frac{V_S}{V_e} = \frac{-(R_2/R_1)}{1 + (1 + R_2/R_1)/A}}$$

Com $A \rightarrow \infty \rightarrow \frac{V_S}{V_e} = -R_2/R_1$

Exemplo: Amplificador não-inversor (ver livro)



$$V_s = A \cdot (V_e - V_-)$$

$$V_- = V_s \cdot \frac{R_1}{R_2 + R_1} \Rightarrow V_s = \left(1 + \frac{R_2}{R_1}\right) \cdot V_e$$

$$V_s = A \cdot \left(V_e - V_s \cdot \left(\frac{R_1}{R_2 + R_1} \right) \right) = A \cdot V_e - V_s \cdot \left(\frac{A \cdot R_1}{R_2 + R_1} \right)$$

$$V_s \cdot \left(1 + \frac{A \cdot R_1}{R_2 + R_1} \right) = A \cdot V_e = V_s \cdot \left(\frac{R_2 + R_1 + A \cdot R_1}{R_2 + R_1} \right)$$

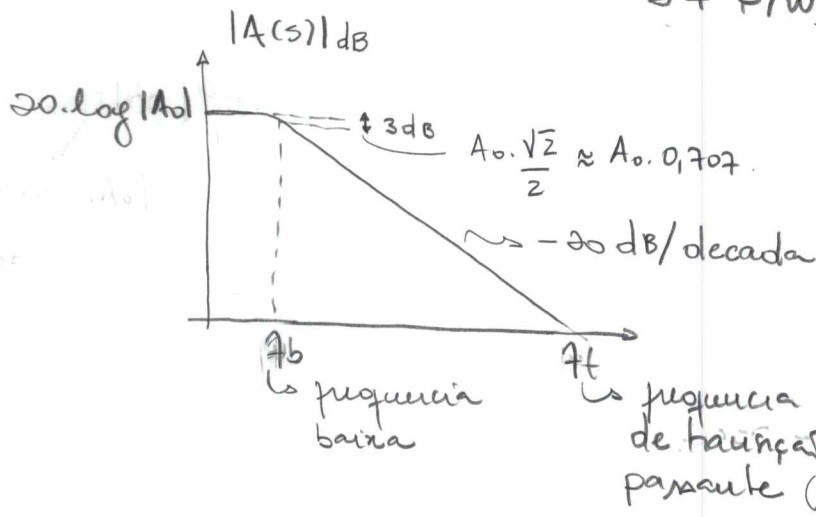
$$\boxed{\frac{V_s}{V_e} = \frac{1 + R_2/R_1}{1 + (1 + R_2/R_1)/A}}$$

com $A \rightarrow \infty$ $\frac{V_s}{V_e} = \left(1 + \frac{R_2}{R_1}\right)$

b) Modelo de ganho de primeira ordem.

No domínio s : $V_s(s) = A(s) \cdot (V_2(s) - V_1(s))$

com $A(s) = \frac{A_0}{1 + s/\omega_b}$ Ganho DC.



} LM741
 $A_0 \approx 10^5$
 $f_b \approx 4.1 \text{ kHz}$
 $f_t \approx 1.0 \text{ MHz}$

$$A(j\omega) = \frac{A_0}{1 + \frac{j\omega}{\omega_b}} = A_0 \cdot \frac{\omega_b}{j\omega + \omega_b}$$

para $\omega \gg \omega_b$ (frequências muito maiores que ω_b)

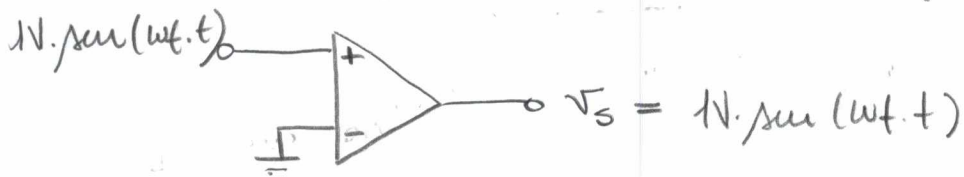
$$A(j\omega) \approx A_0 \cdot \frac{\omega_b}{j\omega}$$

Ganho unitário $|A(j\omega_t)| = 1 \Rightarrow A_0 \cdot \frac{\omega_b}{\omega_t} = 1$

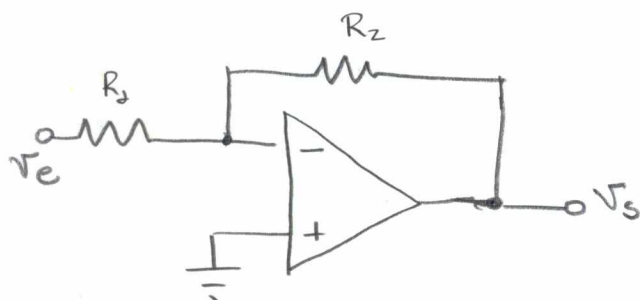
O que implica em

$$\omega_f = A_o \cdot \omega_b$$

\rightarrow frequência de corte
 \rightarrow ganho em malha aberta.
 \rightarrow parâmetro especificado pelo fabricante



Em malha fechada: Configuração inversora

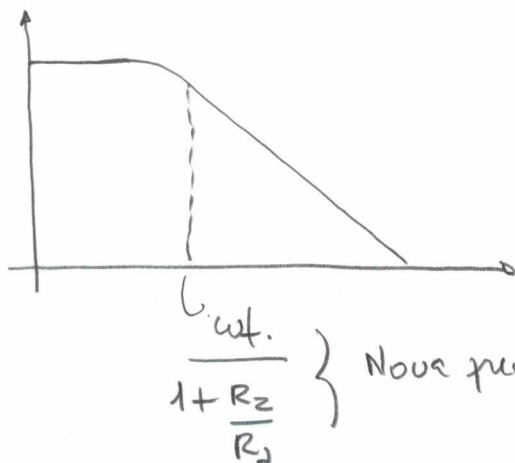


$$\frac{V_s(s)}{V_e(s)} = \frac{-R_2/R_1}{1 + \left(1 + \frac{R_2}{R_1}\right) \frac{A_o}{1 + s/\omega_b}} \quad \sim \text{Ver pag. 4.}$$

$$\frac{V_s(s)}{V_e(s)} = \frac{-R_2/R_1}{1 + \frac{(1+R_2/R_1)}{A_o} + \frac{s}{\omega_b A_o} (1+R_2/R_1)}$$

Considerando $A_o \gg 1 + R_2/R_1$

$$\frac{V_s(s)}{V_e(s)} = \frac{-R_2/R_1}{1 + s \cdot \frac{(1+R_2/R_1)}{\omega_b A_o}} = \frac{-R_2/R_1}{1 + s \cdot \frac{(1+R_2/R_1)}{\omega_f}} = \frac{-R_2/R_1}{1 + \frac{s}{\omega_f \cdot \frac{1}{(1+R_2/R_1)}}}$$

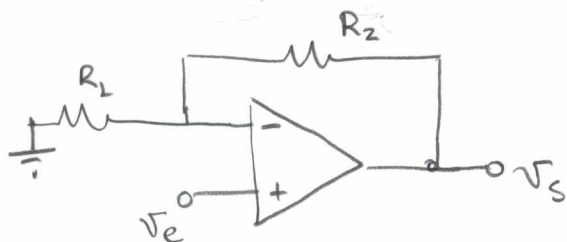


Nova frequência de corte

Com $\omega_f = A_o \cdot \omega_b$
a nova frequência de corte é

$$\omega_b \cdot \frac{A_o}{1 + \frac{R_2}{R_1}} > \omega_b \quad \text{se} \quad \frac{A_o}{1 + \frac{R_2}{R_1}} > 1$$

Em malha fechada: Configuração não-inversora.



$$\frac{v_s}{v_e} = \frac{1 + R_2/R_1}{1 + (1 + R_2/R_1)/A}$$

com $A = \frac{A_0}{1 + \frac{s}{\omega_b}}$: $\frac{v_s(s)}{v_e(s)} = \frac{1 + R_2/R_1}{1 + \frac{s}{A_0 \cdot \omega_b / (1 + R_2/R_1)}}$

tal como no caso do amplificador

inversor, a nova frequência de 3dB é $\frac{\omega_t}{(1 + R_2/R_1)}$

ou seja, $\frac{A_0}{(1 + R_2/R_1)} \cdot \omega_b > \omega_b$ se $\frac{A_0}{(1 + R_2/R_1)}$

Resumindo:

Para ambos amplificador inversor e não-inversor, temos:

$$\omega_{3dB} = \frac{A_0}{(1 + R_2/R_1)} \cdot \omega_b = \frac{\omega_t}{(1 + R_2/R_1)}$$

ou ainda: $\omega_t = \omega_{3dB} \cdot (1 + R_2/R_1) = \omega_b \cdot A_0$ Produto ganho-faixa de passagem

sendo $\beta = \frac{R_1}{R_2 + R_1}$, temos

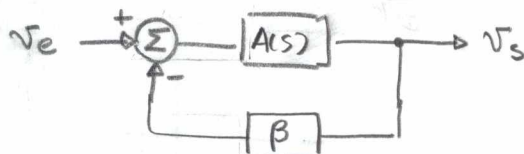
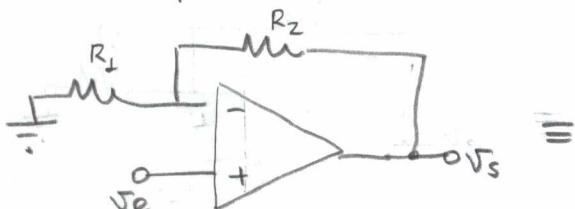
$$0 \leq \beta \leq 1$$

$$\omega_{3dB} = \omega_t \cdot \beta \rightarrow f_{3dB} = f_t \cdot \beta$$

observe-se o mesmo c/ transistor

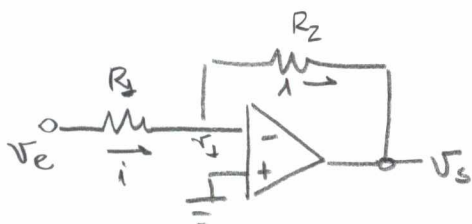
β é dito fator de realimentação.

No amplificador não-inversor:



$$\beta = \frac{R_1}{R_2 + R_1}$$

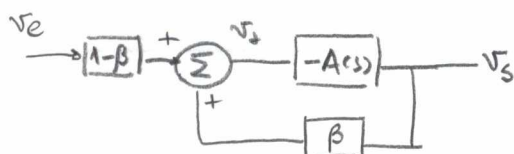
No amplificador inversor:



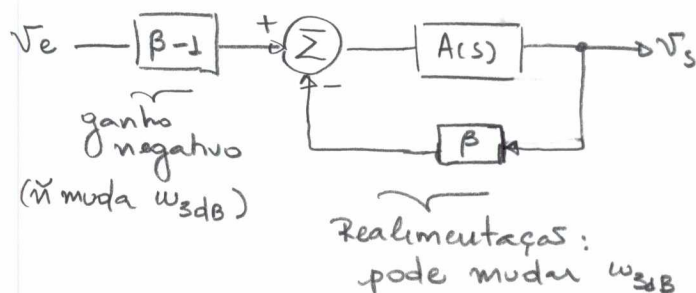
Por superposição:

$$\begin{aligned} V_d &= v_e \cdot \frac{R_2}{R_1 + R_2} + v_s \cdot \frac{R_1}{R_2 + R_1} \\ &= v_e \cdot (1 - \beta) + v_s \cdot \beta \end{aligned}$$

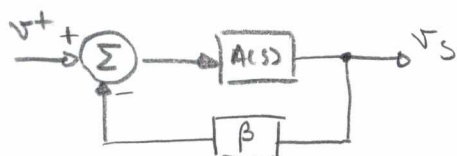
$$V_s = -A(s) \cdot V_d(s)$$



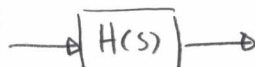
\equiv



Em ambos os casos, temos a seguinte função de transf.:



\equiv



$$\begin{aligned} H(s) &= \frac{A(s)}{1 + \beta \cdot A(s)} = \frac{A_0 \cdot \omega_b}{s + \omega_b} = \frac{A_0 \cdot \omega_b}{s + \omega_b + \beta \cdot A_0 \cdot \omega_b} \\ &= \frac{A_0}{1 + \beta \cdot A_0} \cdot \frac{1}{1 + \frac{s}{\omega_b \cdot (1 + \beta \cdot A_0)}} \end{aligned}$$

Com $A_0 \cdot \beta \gg 1$, \leadsto

$$H(s) = \frac{1/\beta}{1 + \frac{s}{\omega_b \cdot \beta \cdot A_0}}$$

Assim, $\boxed{\omega_{3dB} = \omega_t \cdot \beta}$

Com $\beta = 0$ isto não se aplica, e

com $\omega_t = \omega_b \cdot A_0$,

$$H(s) = \frac{1/\beta}{1 + \frac{s}{\omega_t \cdot \beta}}$$

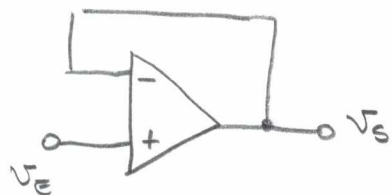
$\omega_{3dB} = \omega_b$

3.3. Taxa de variação máxima da saída (SLEW RATE)

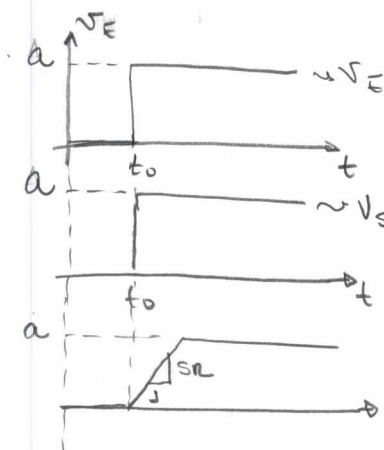
$SR \triangleq \max \frac{dV_s}{dt}$ que a saída do AMPOP pode utilizar

Geralmente se mede em Voltos/ μ s } P/ grandes sinais.

Exemplo:



$V_E = a \cdot u(t - t_0)$
L degrau unitário



Caso ideal
com $A \rightarrow \infty$
e $SR = \infty$

Caso com $A \rightarrow \infty$
e SR finito

Considerando modelo de primeira ordem:

$$A(s) = \frac{A_0}{1 + s/\omega_b}$$

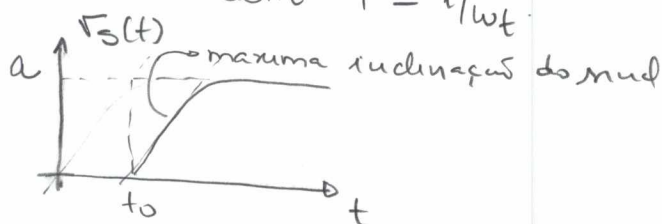
O seguidor de tensão apresenta

$$\frac{V_S(s)}{V_E(s)} = \frac{1}{1 + \frac{s}{\omega_t}}$$

A resposta ao degrau p/ $t > t_0$ é portanto

$$V_S(s) = \frac{a}{s} \cdot \frac{1}{(1 + s/\omega_t)} \xrightarrow{\mathcal{L}^{-1}} V_S(t) = a \cdot (1 - e^{-t/\tau})$$

com $\tau = 1/\omega_t$



$$\frac{dV_S}{dt} = \frac{a}{\tau} \cdot e^{-t/\tau}, \text{ que é máximo em } t=0! : \left. \frac{dV_S}{dt} \right|_{t=0} = \frac{a}{\tau}$$

Assim, o SR não poderá exaço se $\frac{a}{\tau} = \underline{a \cdot \omega_t} \leq SR$

3.4. Tensão de deslocamento (OFFSET)

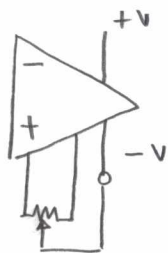
10



$$V_s = A \cdot (V_2 - V_1 + V_{os}) \quad \text{LM741: } |V_{os}| < 5 \text{ mV}$$

V_{os} varia com a temperatura (ver manual)

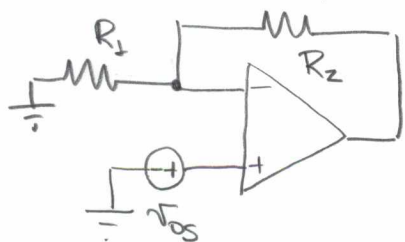
Em alguns AMPOPs, V_{os} pode ser compensado externamente, como o LM741:



Efeito de V_{os} em algumas configurações

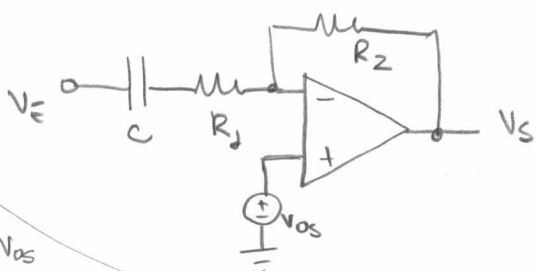
a) Amp. inversor e não inversor.

Sendos circuitos lineares, o princípio da superposição se aplica. Assim, calcula-se a componente devido à tensão de offset e a soma ao que já foi calculado.



$$V_s = V_{os} \cdot \underbrace{\left(1 + \frac{R_2}{R_1}\right)}_{\text{ganho} \geq 1} + \left\{ \begin{array}{l} V_E \cdot (-R_2/R_1) \text{ inversor} \\ V_E \cdot (1 + R_2/R_1) \text{ não inversor} \end{array} \right.$$

Soluções p/ amplificador AC inversor:



Quando $V_{os} = V_{os}$

$$V_s(s) = \frac{V_{os}}{s} \cdot \frac{(sC(R_1 + R_2) + 1)}{sC R_1 + 1}$$

$$V_s(s) = V_{os}(s) \cdot \left(1 + \frac{Z_2(s)}{Z_1(s)}\right) + \dots$$

devido à entrada $V_E(s)$

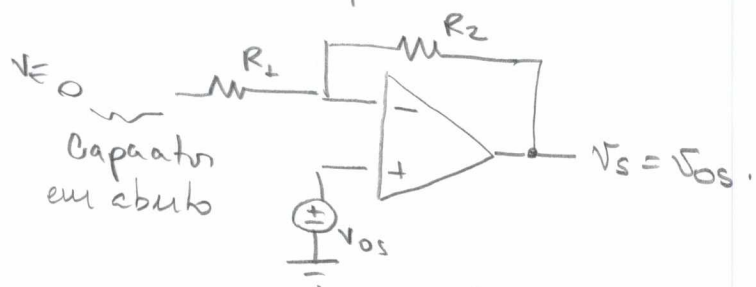
$$1 + \frac{Z_2(s)}{Z_1(s)} = 1 + \frac{R_2}{R_1 + 1/sC} = \frac{1/sC + R_1 + R_2}{R_1 + 1/sC}$$

$$= \frac{sC(R_1 + R_2) + 1}{sC R_1 + 1} \quad \left. \begin{array}{l} \text{P/ } V_{os} \text{ DC, um ganho} \\ \text{limitado} \end{array} \right\}$$

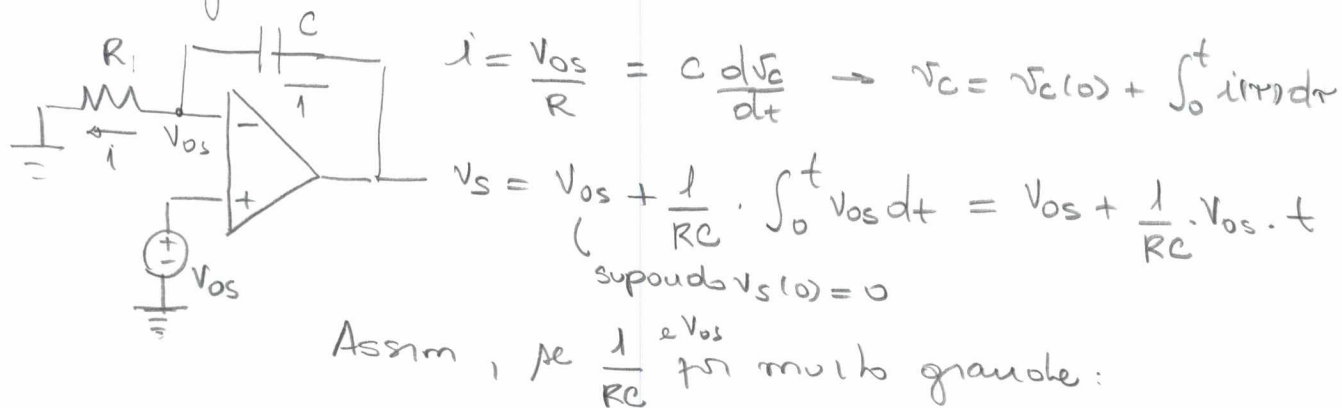
Como V_{os} é constante (i.e., sinal DC), temos que

$$\frac{sC(R_1 + R_2) + 1}{sCR_1 + 1} = 1 \text{ quando } s = 0 \text{ } (\omega = 0)$$

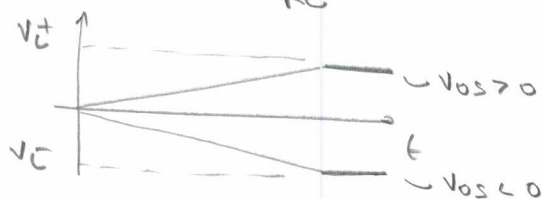
Assim, V_{os} aparece somado à saída V_s , em vez de ser amplificado por $(1 + R_2/R_1) \geq 1$. Podemos ver em um circuito do ponto de vista DC apenas:



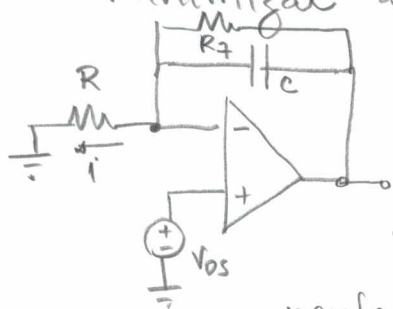
b) No integrador de Miller



Assim, $\frac{1}{RC} \cdot \frac{V_{os}}{R}$ é muito grande:



Para minimizar a influência de V_{os} :



V_{os} impõe uma corrente $i = \frac{V_{os}}{R}$ que de início passa por R_f e C . Quando a saída V_s se estabilizar ($s \rightarrow 0$), temos que a componente de V_s devido a V_{os} é $V_s = (1 + \frac{R_f}{R}) \cdot V_{os}$

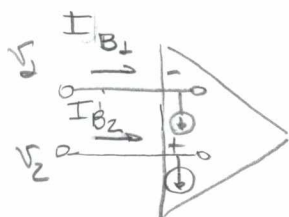
Assim, a influência de V_{os} será menor fazendo R_f diminuir.

Por outro lado, V_E se propaga para a saída como:

$$V_S = \frac{-R_F/R}{1 + sR_FC}$$

ou seja, para se ter uma resposta mais pausada com um integrador, tem-se que fazer $sR_FC \gg 1$, que é comprometido quando R_F é pequeno, para minimizar a influência de V_{os} . Por outro lado, pode-se aumentar C . No entanto, valores muito altos de C somente existem sob forma de capacitores eletrolíticos, que, por serem polarizados não são apropriados a ser usados no integrador.

3.5. Correntes de polarização das entradas



I_{B1} e I_{B2} : Correntes de polarização das entradas.

Nos manuais são dados:

I_B : corrente de polarização

$$I_B \triangleq \frac{I_{B1} + I_{B2}}{2}$$

I_{os} : corrente de offset

$$I_{os} \triangleq |I_{B1} - I_{B2}|$$

Valores típicos em operacionais baseados em $TJBS$:

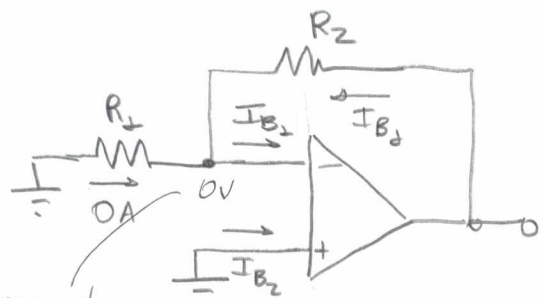
$$I_B = 100 \text{ nA} \quad \text{e} \quad I_{os} = 10 \text{ nA}$$

Valores típicos em operacionais baseados em $FETs$:

I_B e I_{os} da ordem de picoampères.

Influência na tensão de saída de amplificadores (inversor e não-inversor).

Considera-se a influência apenas das correntes ($V_E = 0$ e $V_{OS} = 0$)

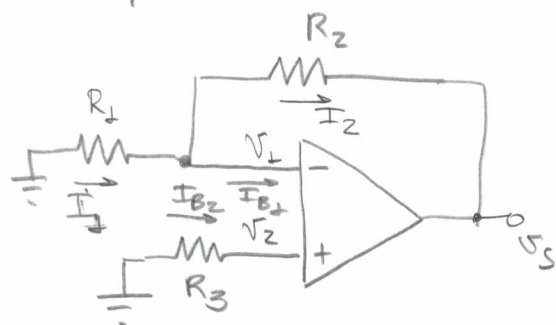


Supondo
A muito grande

Haverá problema se R_2 for alto.

$$V_S = R_2 \cdot I_{B1} \approx R_2 \cdot I_B \text{ se } I_{OS} \text{ for muito pequeno.}$$

Para minimizar esse problema, coloca-se uma resistência da seguinte forma:



Determinar R_3 de forma que $V_1 = V_2$ e assim $V_S = 0$.

$$V_1 = V_2 \therefore V_2 = -R_3 \cdot I_{B2}$$

$$\left\{ \begin{aligned} I_1 &= \frac{-V_1}{R_1} = \frac{-V_2}{R_1} = + \frac{R_3 \cdot I_{B2}}{R_1} \end{aligned} \right.$$

$$I_2 = I_1 - I_{B1} = \frac{V_1 - V_S}{R_2} = \frac{V_2 - V_S}{R_2} = \frac{-R_3 \cdot I_{B2} - V_S}{R_2}$$

$$+ \frac{R_3}{R_1} \cdot I_{B2} - I_{B1} = \frac{-R_3 \cdot I_{B2} - V_S}{R_2} \rightarrow V_S = -R_3 \cdot I_{B2} - \frac{R_2 \cdot R_3}{R_1} \cdot I_{B2} + R_2 \cdot I_{B1}$$

$$V_S = -R_3 \cdot I_{B2} + R_2 \cdot \left(I_{B1} - \frac{R_3}{R_1} \cdot I_{B2} \right)$$

Se considerarmos I_{os} muito pequeno:

$$I_B \sim I_{B1} \sim I_{B2}.$$

Assim:

$$\begin{aligned} V_S &= -R_3 \cdot I_B + R_2 \cdot \left(I_B - \frac{R_3}{R_1} \cdot I_B \right) \\ &= I_B \cdot \left(-R_3 + R_2 - \frac{R_2 \cdot R_3}{R_1} \right) \end{aligned}$$

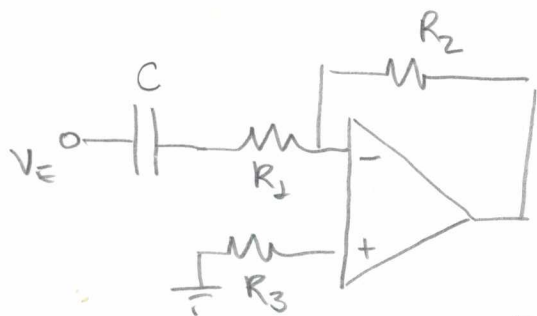
Para se ter $V_S = 0$, temos

$$-R_3 + R_2 - \frac{R_2 \cdot R_3}{R_1} = 0$$

$$R_3 = \frac{R_2}{\left(1 + \frac{R_2}{R_1}\right)} = \frac{R_2}{\left(\frac{R_1 + R_2}{R_1}\right)} = \frac{R_2 \cdot R_1}{R_2 + R_1} = \boxed{R_2 \parallel R_1}$$

Exemplos:

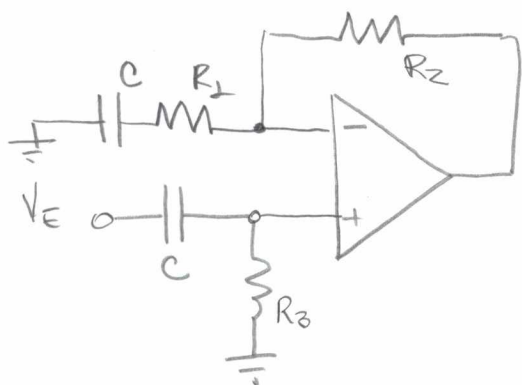
a) Amplificador inversor AC



$$\underline{R_3 = R_2}$$

R_3 não tem influência pois todo o caminho feito pela corrente de polarização DC passa apenas por R_2

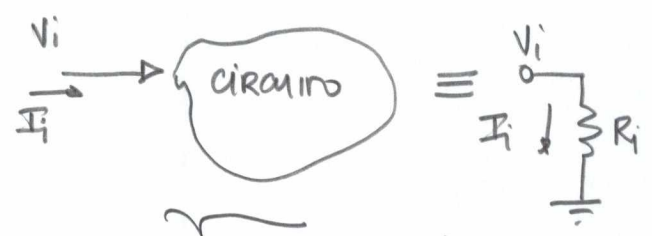
b) Amplificador não-inversor AC



$$\underline{R_3 = R_2}$$

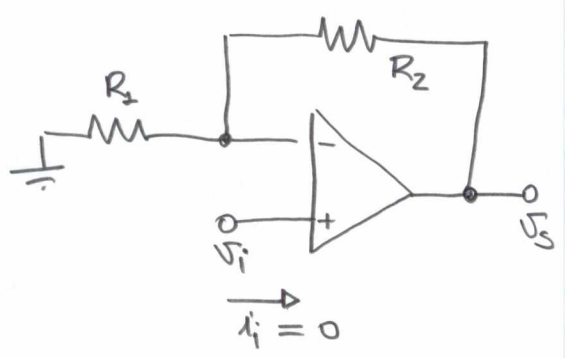
Impedância de Entrada de circuitos

$$R_i \triangleq \frac{V_i}{I_i} \Big|_{V_i \neq 0}$$



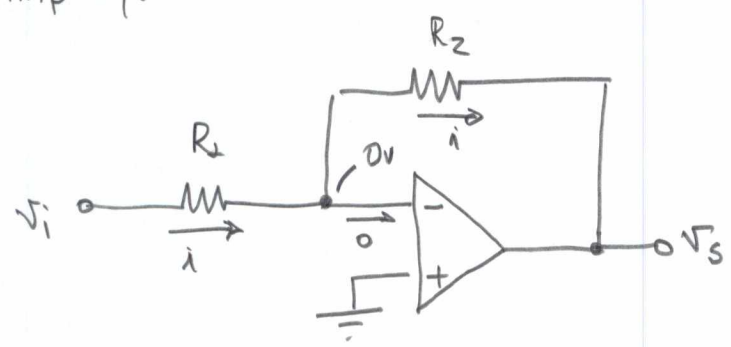
Circuito com pontos independentes (Impulsões DC, etc.)
Ganho A infinito.

a) Amplificador não-inversor



Portanto, $R_i = \frac{V_i}{I_i} = \infty$

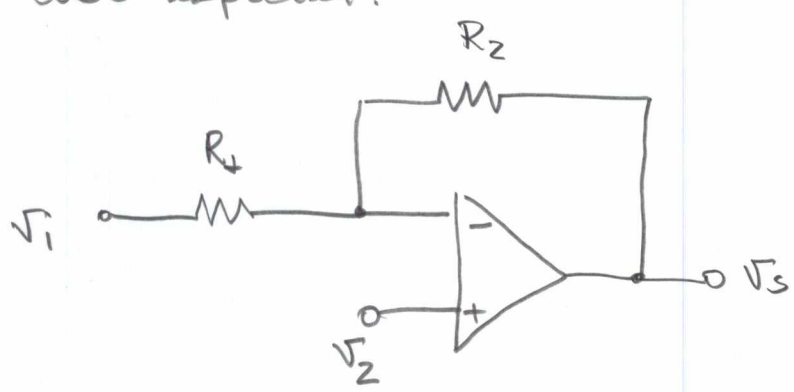
b) Amplificador inversor



$$I_i = \frac{V_i}{R_1} = I_i$$

$$\Rightarrow \frac{V_i}{I_i} = R_1 = R_i$$

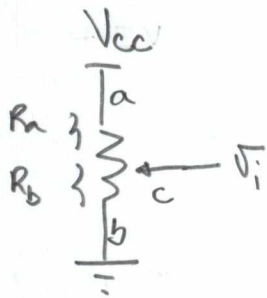
caso especial:



Impedância vista por V_2 :
 $R_i = \infty$

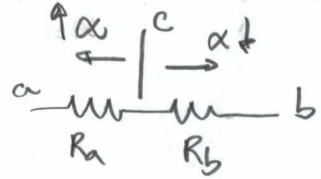
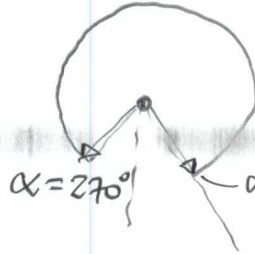
Impedância vista por V_i :
 $R_i = R_1$
 $\left. \begin{matrix} V_2 = 0 \end{matrix} \right\}$
Porte independente.

Erro comum de análise:



$R = \text{resistência do potenciômetro} = R_a + R_b$

Considerando α o ângulo do potenciômetro.

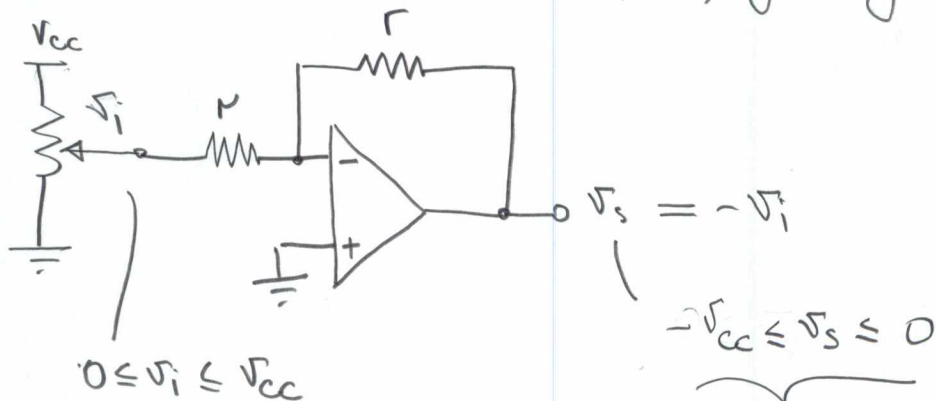


$$\left. \begin{array}{l} \alpha \text{ em graus.} \\ \alpha = 270^\circ \\ \alpha = 0^\circ \end{array} \right\} \begin{array}{l} R_a = \left(1 - \frac{\alpha}{270^\circ}\right) \cdot R \\ R_b = \frac{\alpha}{270^\circ} \cdot R \end{array}$$

Então:

$$V_i = \frac{R_b}{R_a + R_b} \cdot V_{cc} = \frac{\alpha/270}{R} \cdot V_{cc} = \frac{V_{cc}}{270 \cdot R} \cdot \alpha$$

Amplificando V_i de forma que seja negativo: diretamente proporcional a α .

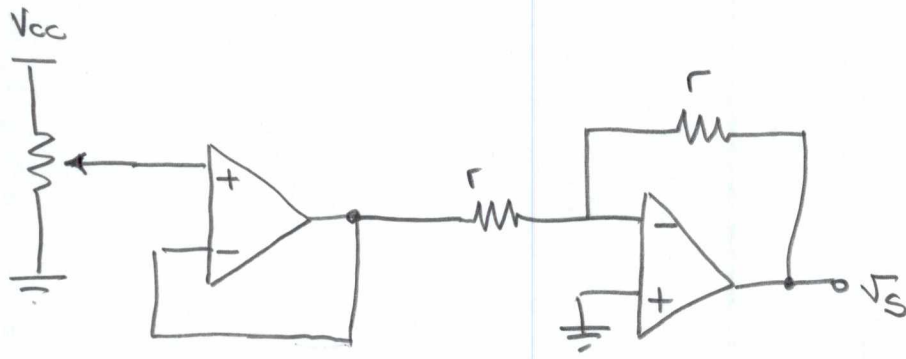


Mas, devido à impedância r : ou seja, nos extremos está OK.

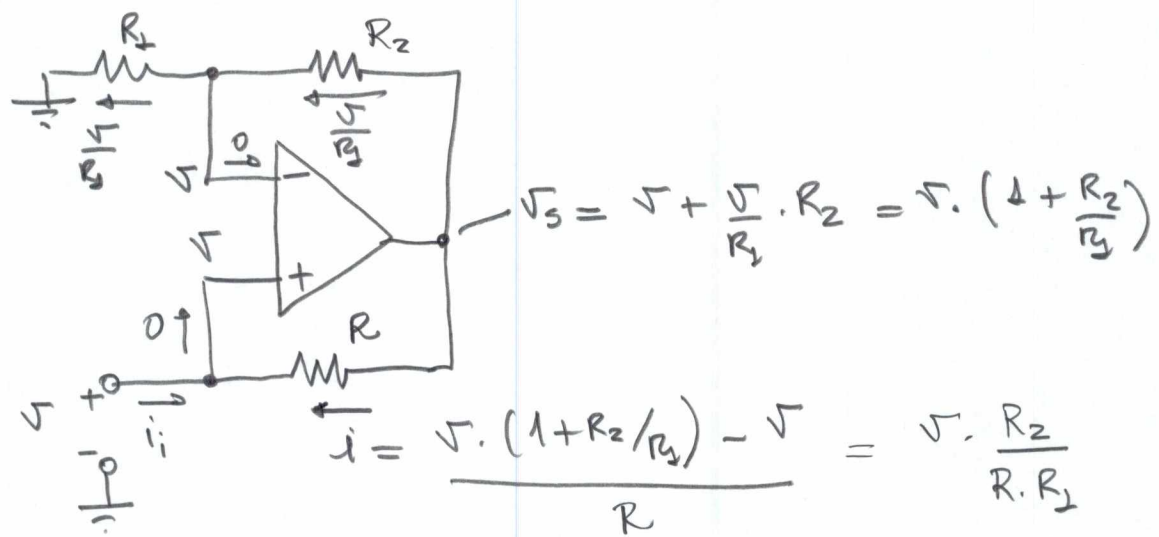
$$\begin{aligned} V_i &= \frac{R_b // r}{R_a + R_b // r} \cdot V_{cc} = \frac{(R_b \cdot r)}{R_a \cdot (R_b + r) + R_b \cdot r} \cdot V_{cc} \\ &= \frac{\alpha}{270} \cdot R \cdot r \cdot V_{cc} \\ &= \frac{(1 - \frac{\alpha}{270}) \cdot R \cdot (\frac{\alpha}{270} \cdot R + r) + \frac{\alpha}{270} \cdot R \cdot r}{(1 - \frac{\alpha}{270}) \cdot R \cdot (\frac{\alpha}{270} \cdot R + r) + \frac{\alpha}{270} \cdot R \cdot r} \cdot V_{cc} \end{aligned}$$

Devido à impedância r \Rightarrow que não é mais proporcional a α !

Soluções:



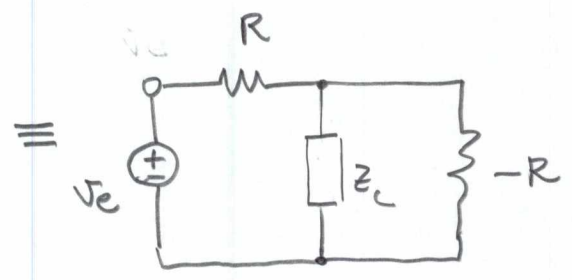
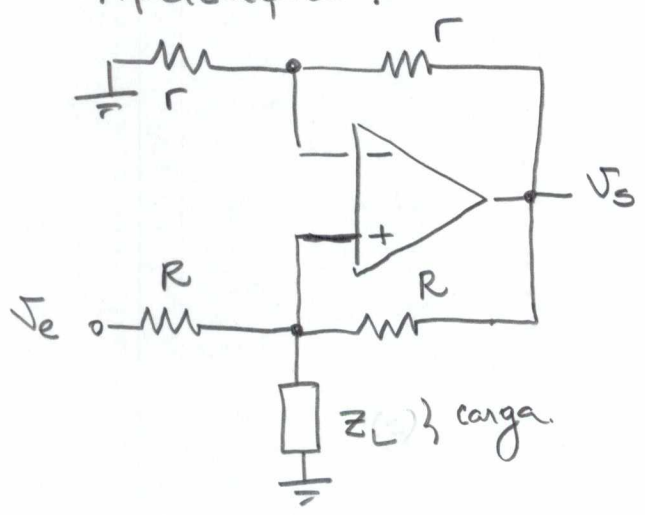
c) low-pass tensão - corrente:



Assim, $i_i = -i = -V \cdot \frac{R_2}{R \cdot R_1}$

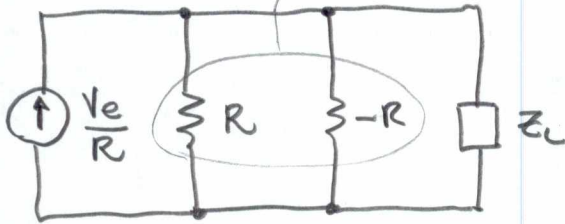
$$R_i = \frac{V}{i_i} = -R \cdot \frac{R_1}{R_2} \rightarrow \text{Resistência negativa!}$$

Aplicações:



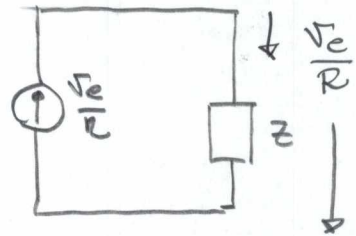
Resistência em paralelo = ∞

\equiv



Equivalente
de Norton

\equiv

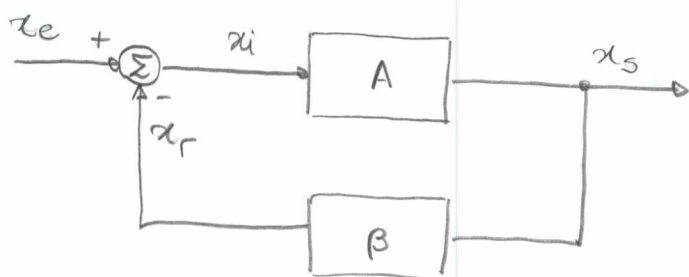


conexão
passando pela
carga independentemente
de Z_L .

4. Realimentação em circuitos com OPAMPs

4.1. Malha de realimentação:

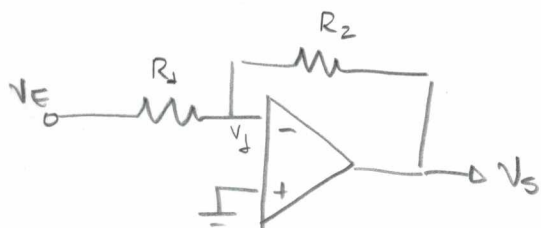
A: ganho de malha aberta
A_f: ganho de malha fechada



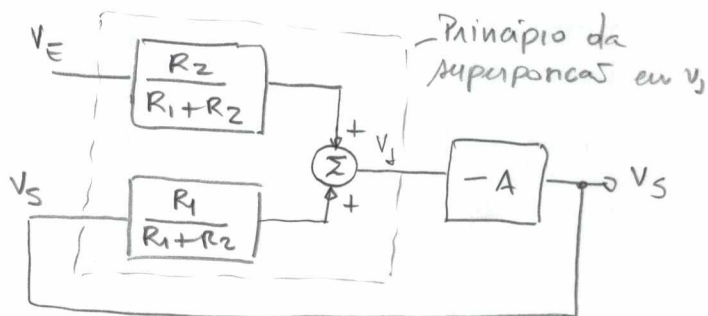
$$\left\{ \frac{x_o}{x_e} = \frac{A}{1 + \beta \cdot A} = A_f \right\}$$

βA : ganho de malha
 $1 + \beta A$: quantidade de realimentação

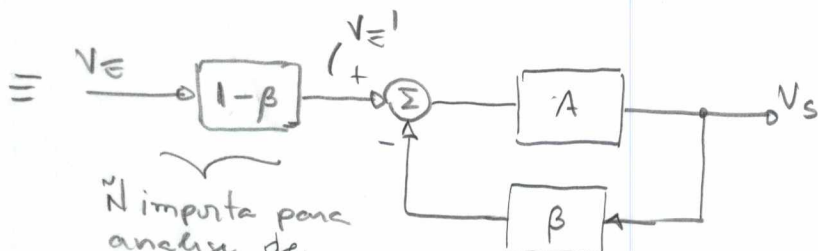
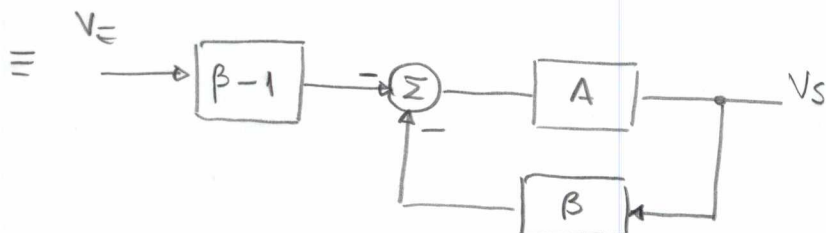
Na configuração inversora:



=

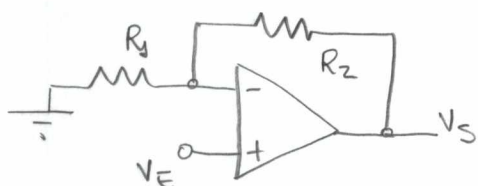


$$\beta = \frac{R_1}{R_1 + R_2} \therefore \frac{R_2}{R_1 + R_2} = \beta - 1$$

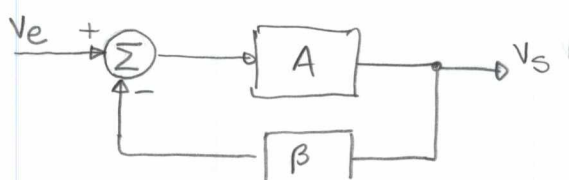


Não importa para análise de estabilidade

Na configuração não-inversora



=



OP00

Realimentação negativa (degenerativa):

$$A \cdot \beta > 0$$

Realimentação positiva (regenerativa):

$$A \cdot \beta < 0$$

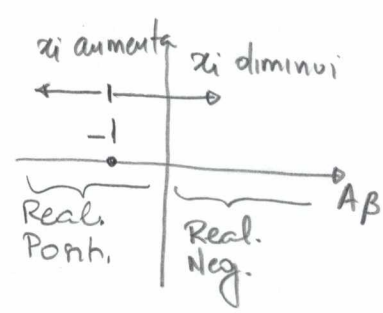
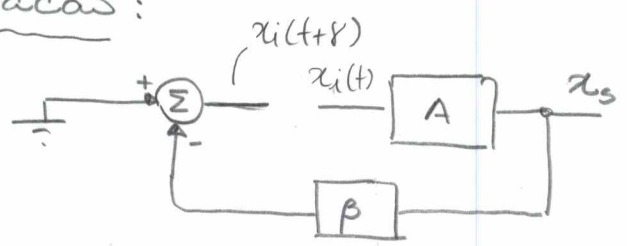


Ilustração:



$x_i(t)$: Entrada x_i em t
 $x_i(t+\delta)$: Entrada x_i em $t+\delta$ } $x_i(t+\delta) = -A\beta \cdot x_i(t)$

$$\frac{x_i(t+\delta) - x_i(t)}{x_i(t)} = -(A\beta + 1)$$

No limite quando $\delta \rightarrow 0$, temos

$$\frac{dx_i(t)}{x_i(t)} = \text{taxa de crescimento de } x_i(t) = -(A\beta + 1)$$

Considerando $x_i(0) > 0$

Se $-(A\beta + 1) > 0$, temos crescimento de x_i

$$\hookrightarrow -A\beta - 1 > 0 \Rightarrow A\beta < -1$$

Se $-(A\beta + 1) < 0$, temos decaimento de x_i

$$\hookrightarrow -A\beta - 1 < 0 \Rightarrow A\beta > -1$$

(Relaciona-se com estabilidade)

4.2. Propriedades da realimentação negativa

4.2.1. Insensibilidade de A

$$A_f = \frac{A}{1 + \beta A} \Rightarrow dA_f = \frac{(1 + \beta A) \cdot dA - A \cdot \beta \cdot dA}{(1 + \beta A)^2}$$

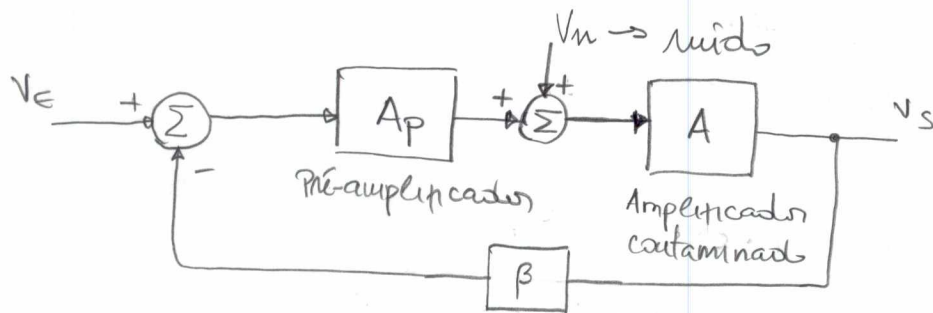
$$dA_f = \frac{1}{(1 + \beta A)^2} \cdot dA$$

ou ainda:

$$\frac{dA_f}{A_f} = \frac{1}{(1 + \beta A)^2} \cdot \frac{dA}{A}$$

$\ll 1$ se $A\beta$ for suficientemente grande
 Porcentagem de variação de A

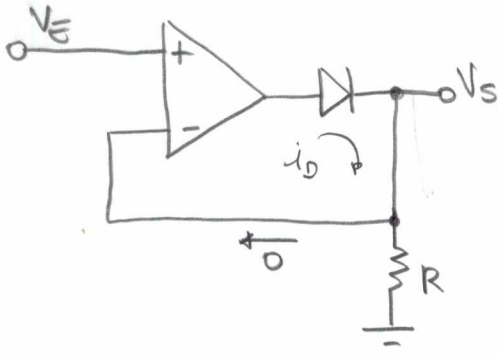
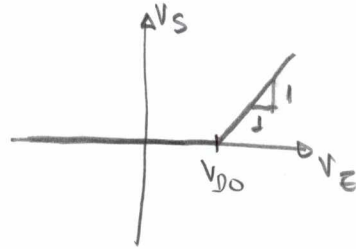
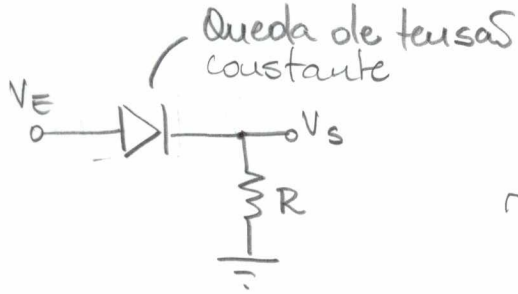
4.2.2. Redução de ruído



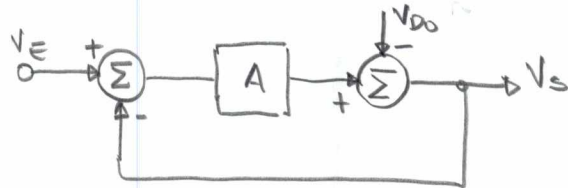
$$V_S = \underbrace{\frac{A_p \cdot A}{1 + A \cdot A_p \cdot \beta}}_{G_E} \cdot V_E + \underbrace{\frac{A}{1 + \beta \cdot A \cdot A_p}}_{G_S} \cdot V_n$$

Como $G_S \ll G_E$ para grandes valores de A_p , a componente de V_n é muito atenuada.

4.2.3. Redução de distorção não-linear

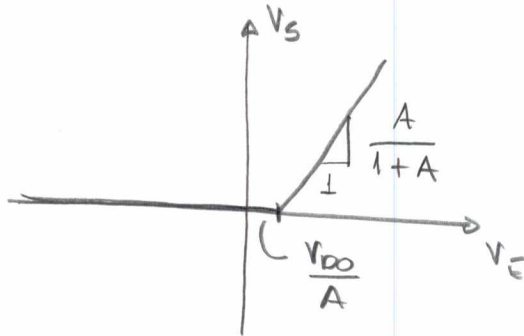


Com $i_D > 0$ ($V_S > 0$):



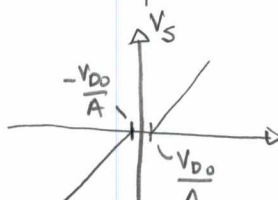
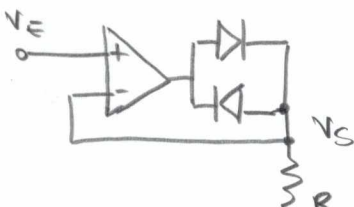
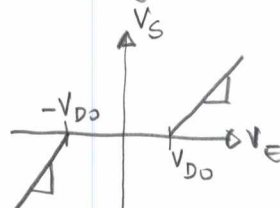
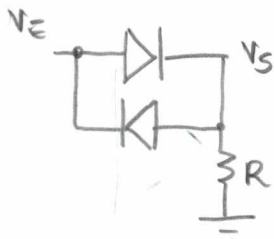
$$V_S = \frac{A}{1+A} V_E - \frac{1}{1+A} V_{D0}$$

$V_S < 0$ quando $V_E < \frac{V_{D0}}{A}$, e o diodo abre a malha fazendo $V_S = 0$!



Com $A \rightarrow \infty$ temos um retificador ideal.

Agora, estendendo ao seguinte caso:



4.3. Estabilidade

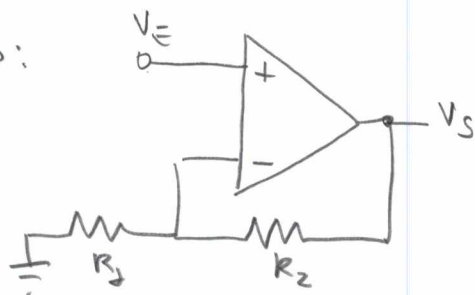
sendo o ganho do amplificador e o ganho de realimentação dependentes da frequência, temos

$$\frac{V_o(s)}{V_E(s)} = \frac{A(s)}{1 + A(s)\beta(s)}$$

Resposta ao degrau $V_E(s) = 1/s$

$$V_o(s) = \frac{A(s)}{s \cdot (1 + A(s)\beta(s))} = \frac{A(s)}{s \cdot \underbrace{(s - p_1) \dots (s - p_n) \cdot K}_{\text{Pólos de } 1 + A(s)\beta(s)}}$$

Exemplo:



$$\beta = \frac{R_1}{R_1 + R_2} \quad \therefore A(s) = \frac{A_0}{1 + s/\omega_b}$$

$$\frac{V_S}{V_E} = \frac{A_0 / (1 + A_0 \beta)}{1 + s/\omega_b \cdot (1 + A_0 \beta)}$$

$$\left\{ \begin{array}{l} \text{Ganho DC} = A_0 / (1 + A_0 \beta) \\ \text{Constante de tempo} = \frac{1}{\omega_b (1 + A_0 \beta)} = \tau \\ \text{frequência de corte: } \omega_b \cdot (1 + A_0 \beta) \end{array} \right.$$

Assim, a resposta a um degrau $V_E(s) = 1/s$ é:

$$V_S(t) = \frac{A_0}{(1 + A_0 \beta)} \cdot (1 - e^{-t/\tau})$$

se $\tau > 0$ (ou $A_0 \beta > -1$): saída exponencialmente estável

se $\tau < 0$ (ou $A_0 \beta < -1$): saída vai p/ infinito